

CONSTITUINTES QUÍMICOS DAS FOLHAS DE *Rollinia leptopetala* R. E. FRIES

Vicente Carlos de O. Costa, Josean F. Tavares*, Cinthia S. Queiroga, Marianna V. S. Castello-Branco, Margareth F. F. Melo Diniz, Carolina Uchôa G. B. de Lima, Bárbara Viviana de O. Santos, João Carlos L. R. Pita e Marcelo Sobral da Silva
Departamento de Ciências Farmacêuticas, Centro de Ciências da Saúde, Universidade Federal da Paraíba, 58051-970 João Pessoa - PB, Brasil

Ivana Maria Fechine Sette

Departamento de Farmácia, Centro de Ciências Biológicas e da Saúde, Universidade Estadual da Paraíba, 58100-001 Campina Grande - PB, Brasil

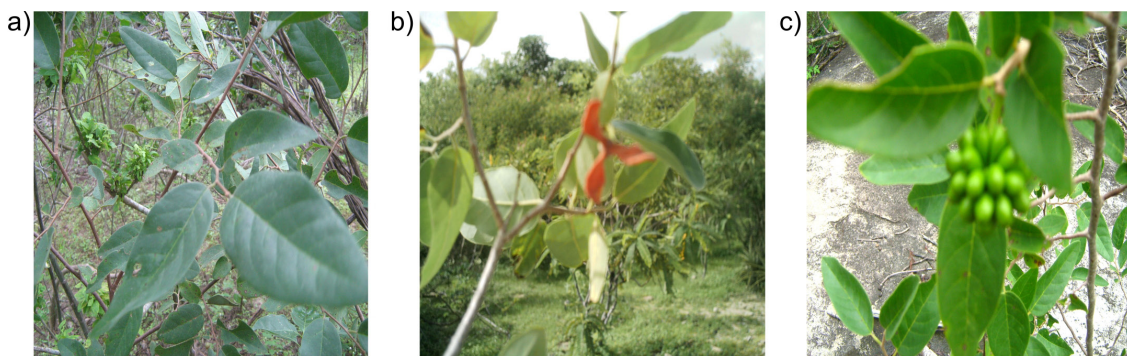


Figura 1S. Fotos de *Rollinia leptopetala*: a) folhas, b) flor e c) frutos. Foto: J. F. Tavares

Acquisition Parameter

Source Type	ESI	Ion Polarity	Negative	Set Nebulizer	0.4 Bar
Focus	Not active			Set Dry Heater	180 °C
Scan Begin	50 m/z	Set Capillary	4000 V	Set Dry Gas	4.0 l/min
Scan End	3000 m/z	Set End Plate Offset	-500 V	Set Divert Valve	Waste

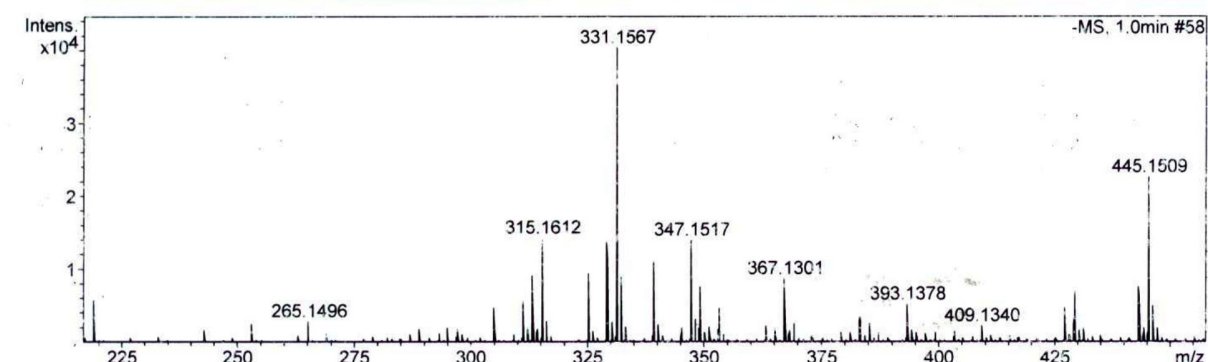
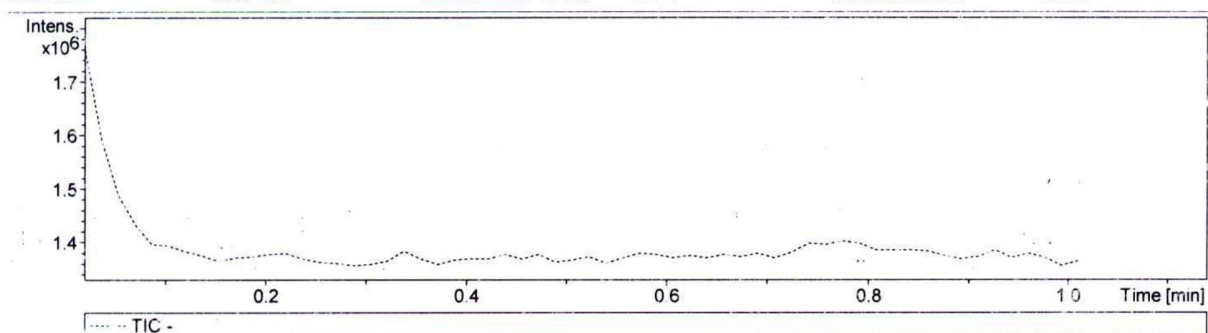


Figura 2S. Espectro de massas de alta resolução EM-AR-IES de I

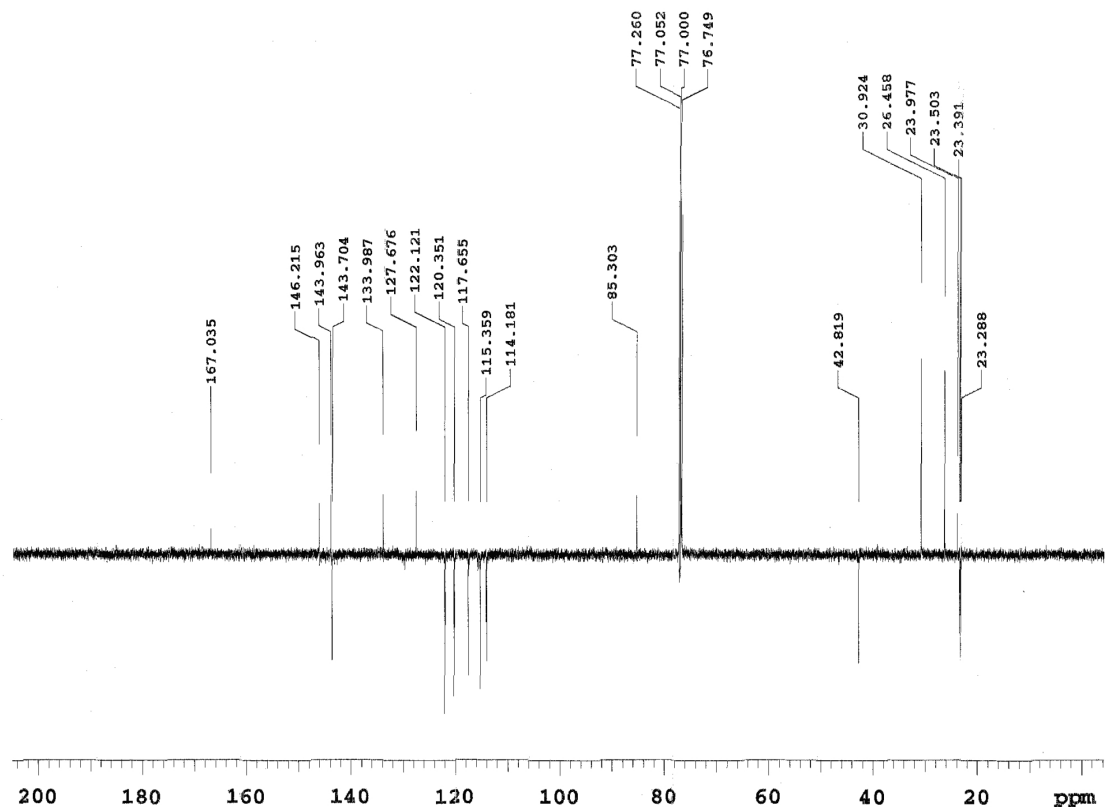


Figura 3S. Espectro de RMN ^{13}C de **I** em 125 MHz obtido em CDCl_3

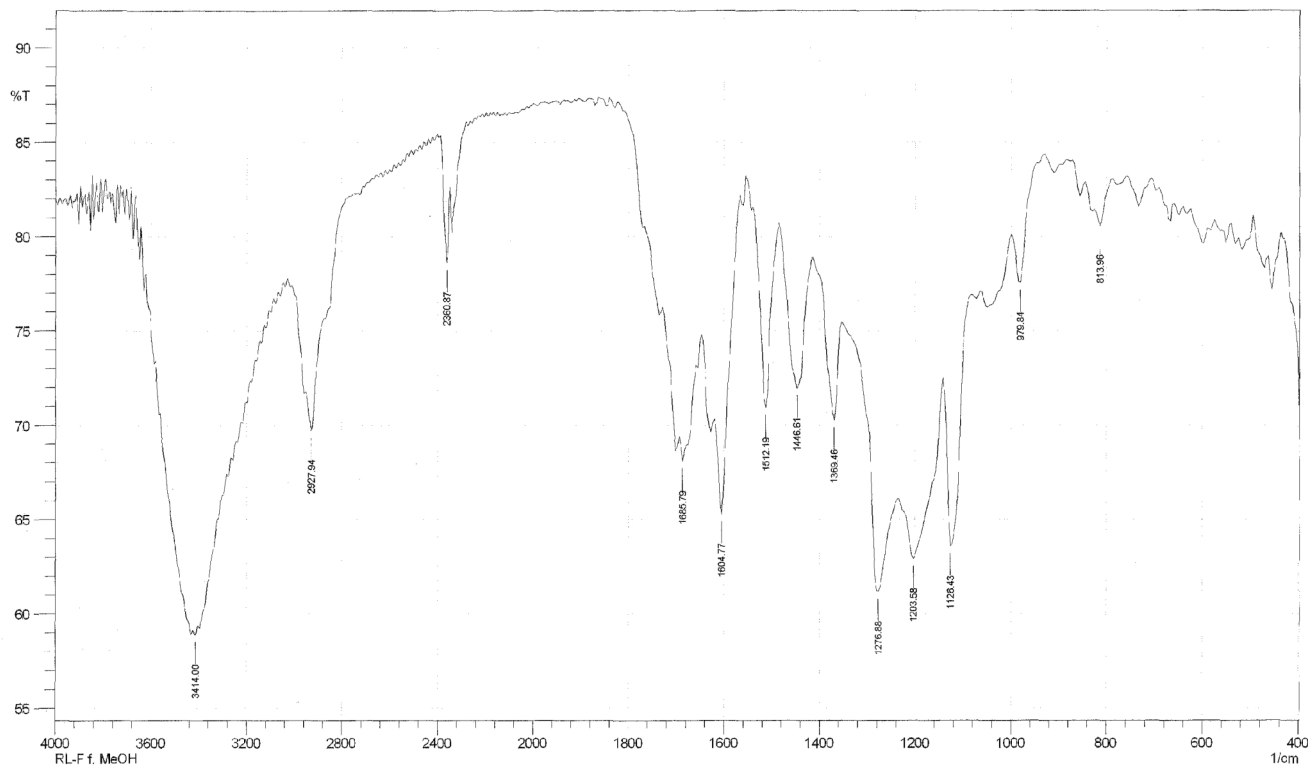


Figura 4S. Espectro de infravermelho de **I** obtido em pastilhas de KBr

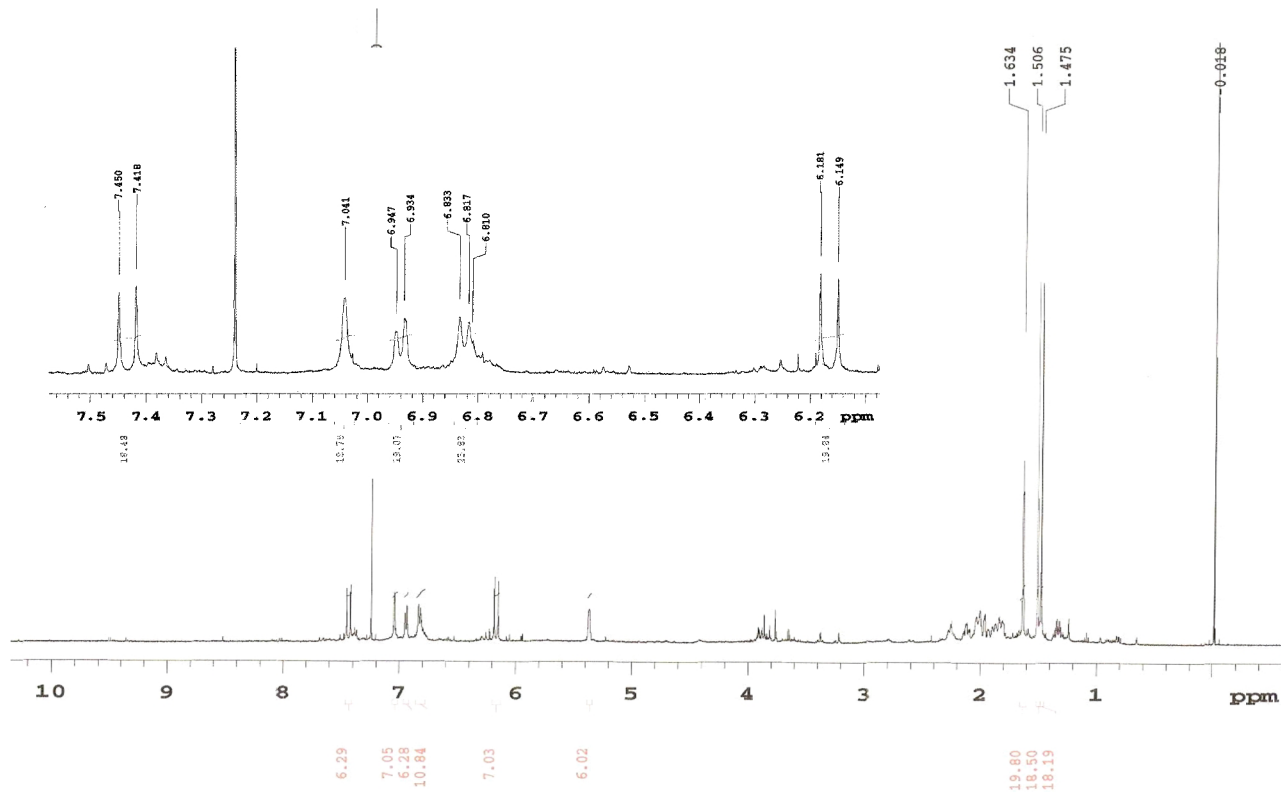


Figura 5S. Espectro de RMN ^1H de I em 500 MHz obtido em CDCl_3

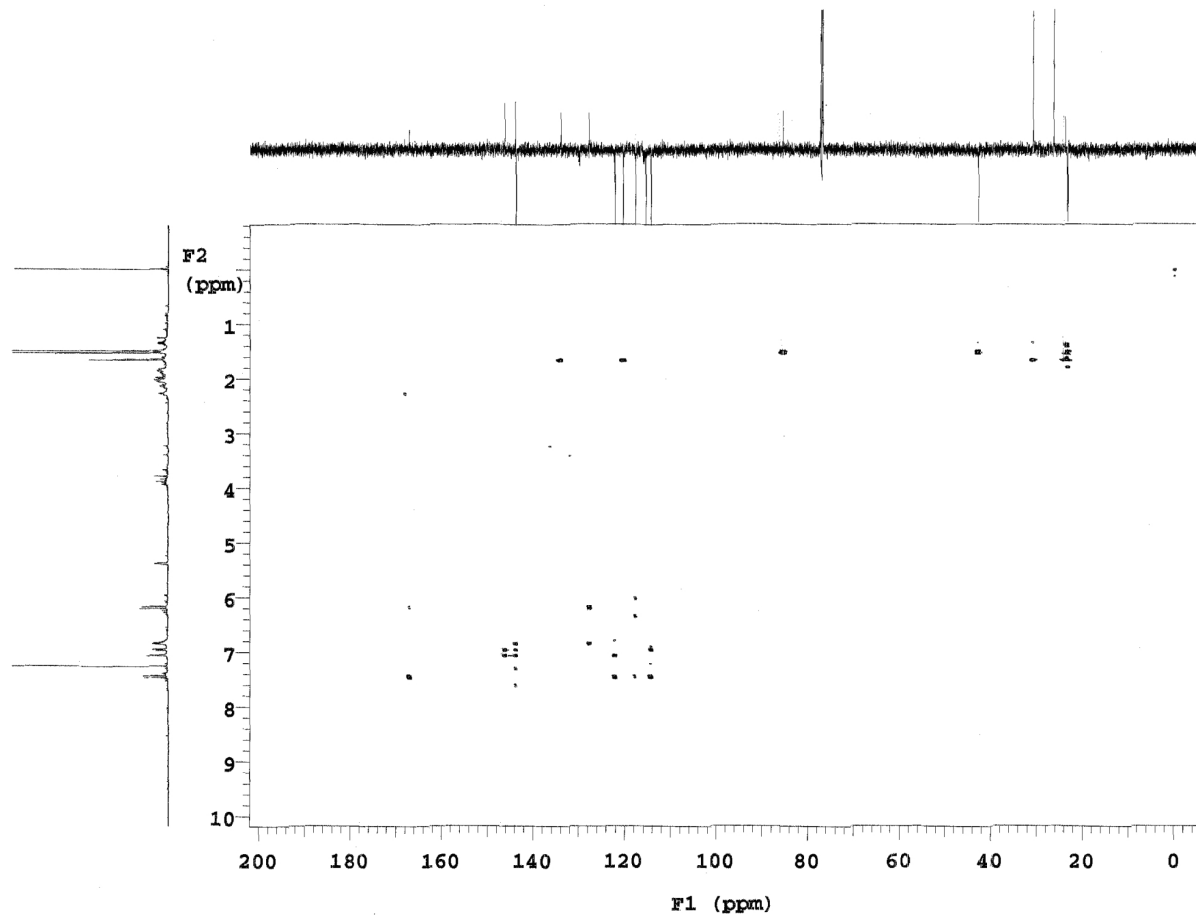


Figura 6S. Espectro de HMBC de I

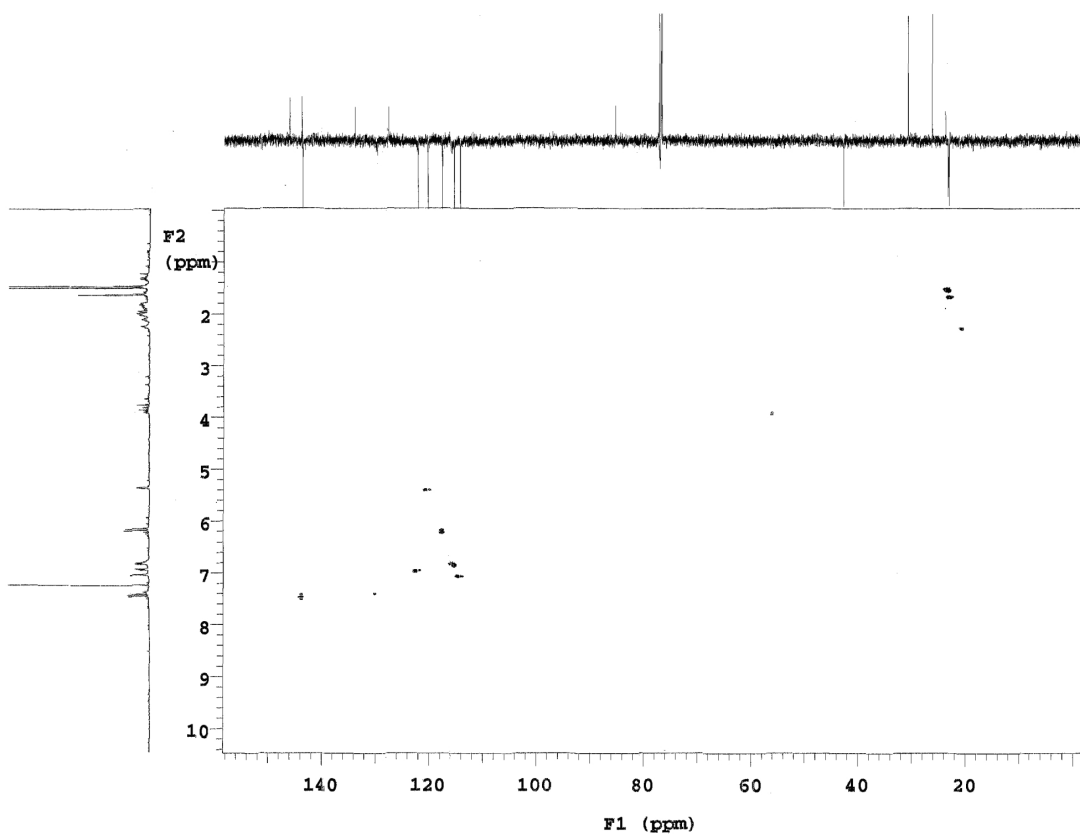


Figura 7S. Espectro de HMQC de I

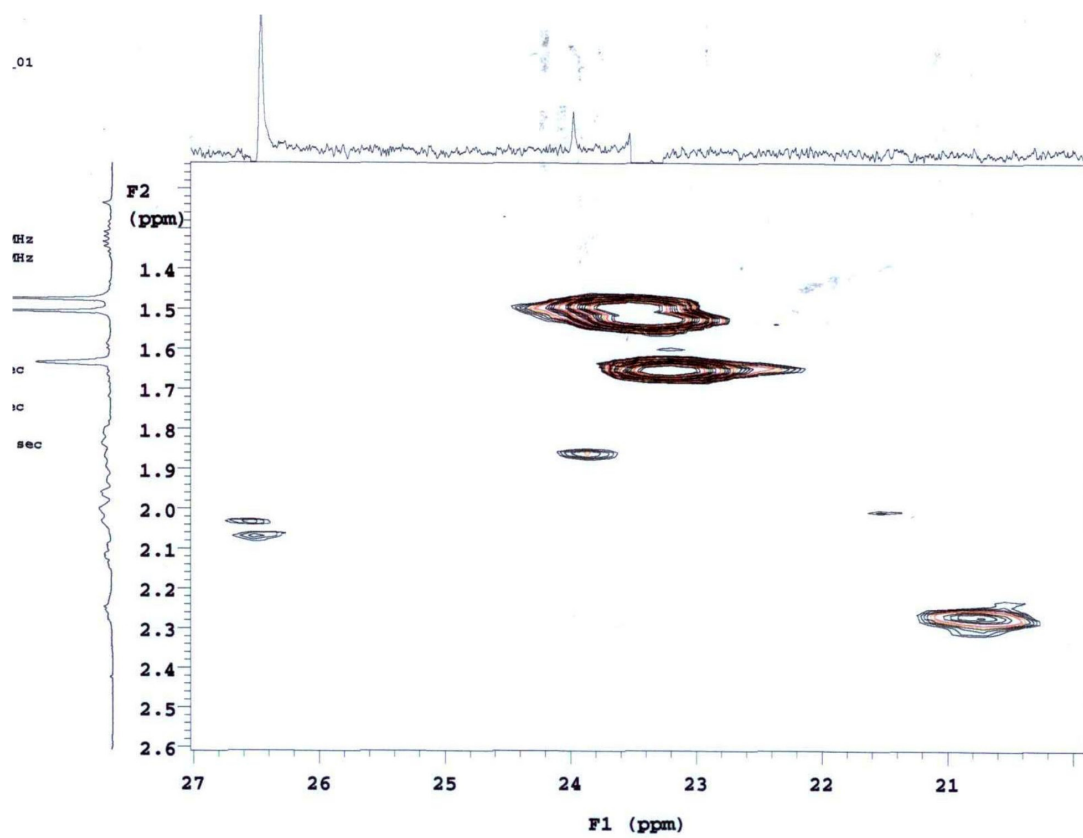


Figura 8S. Expansão do espectro de HMQC de I

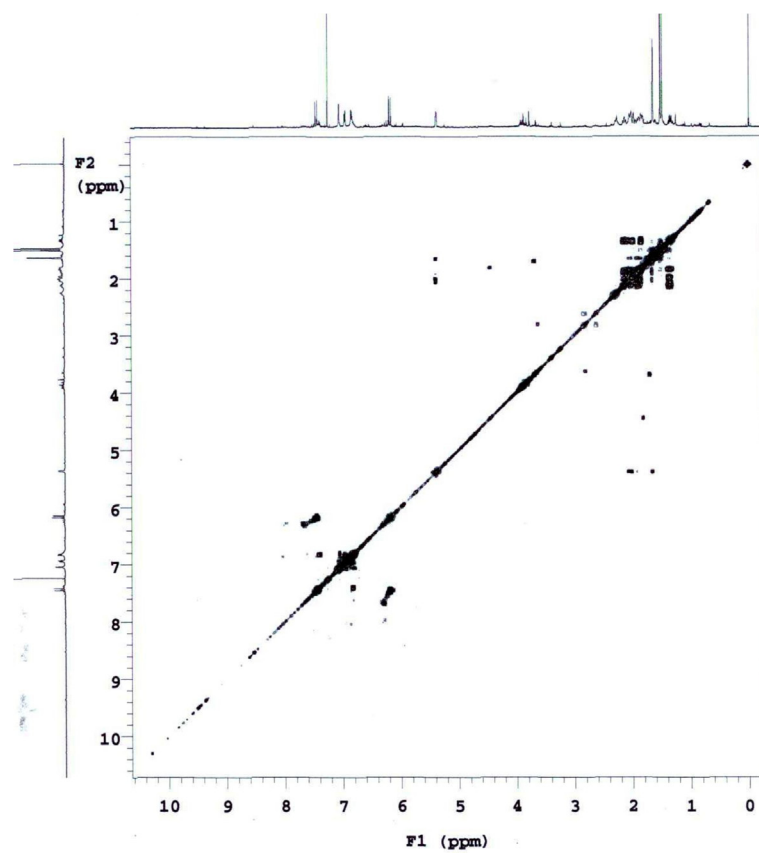


Figura 9S. Espectro de COSY de I

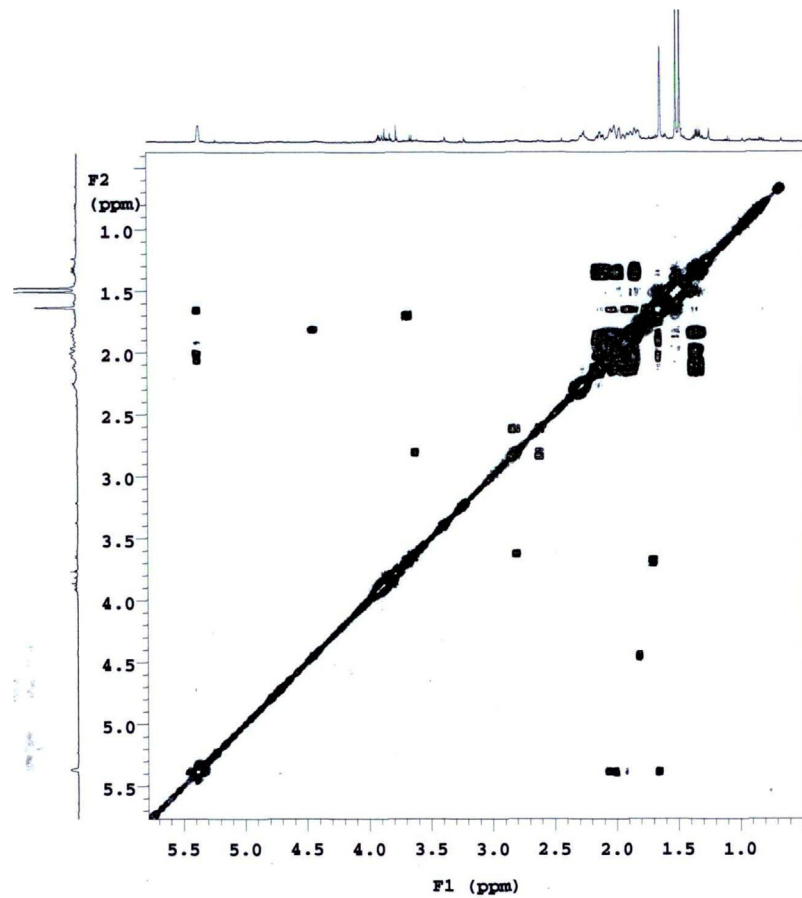


Figura 10S. Expansão do espectro de COSY de I